

Следует отметить, что рассмотренные решения имеют смысл в области перехода лишь в том случае, когда $g/(e\Gamma) > 0$.

Л и т е р а т у р а

[1] Мелькер А. И., Овидько И. А. ФТТ, 1985, т. 27, № 2, с. 594-597.

Липецкий политехнический институт
Липецк

Поступило в Редакцию
3 марта 1988 г.

УДК 539.292

Физика твердого тела, том 30, № 9, 1988
Solid State Physics, vol. 30, # 9, 1988

ЭЛЕКТРОННОЕ ТУННЕЛИРОВАНИЕ В НЕОДНОРОДНЫЕ СВЕРХПРОВОДНИКИ

M. A. Белоголосский, A. И. Дьяченко

Туннельная спектроскопия сверхпроводников с малой фермиевской скоростью и, в частности, нахождение энергетической щели методом электронного туннелирования представляют собой определенную проблему [1]. Дело в том, что длина свободного пробега электрона в таких материалах оказывается сравнительно небольшой (десятки ангстрем). Поэтому фактически в экспериментах по туннелированию в такие металлы измеряются не объемные свойства, а характеристики поверхностного слоя с пониженным параметром порядка. Особые трудности возникают при исследовании открытых недавно металлооксидных сверхпроводников с высокими критическими параметрами, сложные туннельные характеристики которых имеют неоднозначную интерпретацию (см., например, [2]). Иногда для устранения отмеченного недостатка преднамеренно создают туннельные контакты, в которых между исследуемым сверхпроводником и изолятором находится тончайшая прослойка нормального металла [1]. В описанных ситуациях в окрестности барьера возникает координатная зависимость параметра порядка, которая ведет к искажению вида туннельных характеристик по сравнению с туннелированием в однородный сверхпроводящий образец. В настоящей работе исследуется проблема нахождения величины энергетической щели Δ_1 изучаемого сверхпроводника S_1 из данных по электронному туннелированию в слоистых структурах $S_2-I-N-S_1$ -типа (S_2 — сверхпроводящий инжектор, I — изолят, N — нормальный слой).

Для таких структур с малой прозрачностью барьера (именно они используются на эксперименте) зависимость туннельного тока J от приложенного напряжения U имеет вид [3]

$$J(U) = \int_{-\infty}^{\infty} d\omega \int_0^1 d(\cos \theta) D(\cos \theta) N_t^{(2)}(\omega - U) N_t^{(1)}(\omega, \cos \theta) [f(\omega - U) - f(\omega)], \quad (1)$$

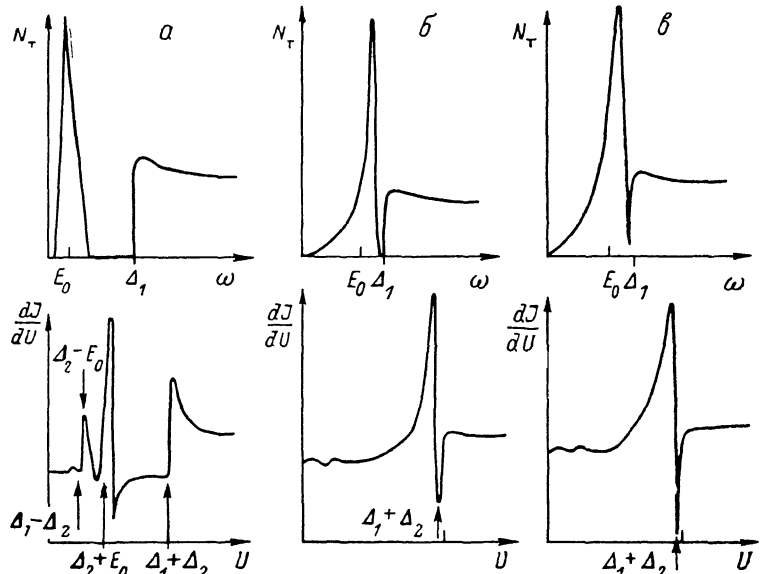
где функция $D(\cos \theta)$ описывает угловую зависимость вероятности туннелирования электрона; туннельная плотность состояний исследуемого сверхпроводника $N_t^{(1)}(\omega, \cos \theta)$ пропорциональна мнимой части электронной функции Грина; соответствующая функция для инжектора описывается стандартной формулой $N_t^{(2)}(\omega) = \text{Re}\{\omega / \sqrt{\omega^2 - \Delta_2^2}\}$; Δ_2 — энергетическая щель инжектора; $f(\omega)$ — функция распределения Ферми; $U = eV$.

На основе результатов работы [3] в приближении зеркального туннелирования было рассчитано характерное поведение интеграла $N_t(\omega) =$

$= \int_0^1 d(\cos \theta) D(\cos \theta) N_{\tau}^{(1)}(\omega, \cos \theta)$ в районе энергетической щели Δ_1 и энергии E_0 , соответствующей связанным состояниям в потенциальной яме, которая образуется в тонкой N -пленке (см. рисунок). При этом в непосредственной окрестности Δ_1 при $\omega > \Delta_1$ имеем [3]

$$N_{\tau}(\omega) \simeq D(1) \sqrt{2(\omega - \Delta_1) \Delta_1} / [2(\omega - \Delta_1) + \Gamma^2 \Delta_1], \quad (2)$$

где $\Gamma = 2d\Delta_1/(\hbar v_F)$; d и v_F — толщина и фермиевская скорость электронов нормальной прослойки.



Туннельная плотность состояний $N_{\tau}(\omega)$ N/S -контактов и соответствующая проводимость dJ/dU туннельных структур S_2-I-N/S_1 — типа при различных значениях энергии E_0 связанных состояния.

$E_0/\Delta_1 = 0.25$ (a), 0.67 (б), 0.75 (с). Отметим, что провал в проводимости контакта при $U = \Delta_1 + \Delta_2$ от положения уровня E_0 не зависит.

Из формул (1) и (2) следует, что особенность в $N_{\tau}(\omega)$ при $\omega = E_0$ превратится в дифференциальную проводимости S_2-I-N/S_1 -контакта $\sigma(U) = -dJ/dU$ в две сингулярности при напряжениях $U'_0 = E_0 + \Delta_2$ и $U''_0 = E_0 - \Delta_2$ (полагаем $\Delta_2 < E_0$). В первом случае возникает обратная корпевая зависимость

$$\delta\sigma(U) = -\text{const} (U - U'_0)^{-1/2} \Theta(U - U'_0),$$

вторая особенность имеет тот же характер

$$\delta\sigma(U) = -\text{const} (U''_0 - U)^{-1/2} [\exp(\Delta_1/T) + 1]^{-1} \Theta(U''_0 - U),$$

однако исчезает в пределе $T \rightarrow 0$, т. е. является слабой и существует только при конечных температурах T . Подобным же образом находим $\delta\sigma(U)$ вблизи $U'_1 = \Delta_1 + \Delta_2$ и $U''_1 = \Delta_1 - \Delta_2$. В первом случае дифференциальная проводимость контакта испытывает скачок, равный

$$\delta\sigma(U) = \pi\sigma_0 \sqrt{\Delta_2/\Delta_1} D(1) \Gamma^{-2} \Theta(U - U'_1).$$

Особенность $\delta\sigma(U)$ во втором случае имеет вид

$$\delta\sigma(U) = -\frac{\sigma_0}{4} \sqrt{\frac{\Delta_2}{\Delta_1}} \frac{D(1)}{\Gamma^2} \ln \left| \frac{U}{U''_1} - 1 \right| \left[\exp\left(\frac{\Delta_1}{T}\right) + 1 \right]^{-1}.$$

Таким образом, дифференциальная проводимость S_2-I-N/S_1 -системы при достаточно малой толщине N -прослойки должна иметь следующие особенности: а) область отрицательной дифференциальной проводимости при $U=E_0-\Delta_2$, исчезающую в пределе $T \rightarrow 0$; б) пик при $U=E_0+\Delta_2$ со следующим за ним резким провалом вплоть до $U=\Delta_1-\Delta_2$; в) слабо заметную на фоне этого провала температурно-зависимую сингулярность при $U=\Delta_1-\Delta_2$; г) ступенчатый рост $\sigma(U)$ при $U=\Delta_1+\Delta_2$. Приведенные на рисунке данные расчетов, отвечающие различным значениям исходных параметров, подтверждают эти выводы.

Как видно из рисунка, наиболее характерным признаком наличия N/S -структуры в туннельном контакте является провал в $\sigma(U)$, следующий за острым максимумом. Местоположение этого пика определяется основными параметрами N -слоя (его толщиной и скоростьюносителей) и поэтому может существенно меняться от эксперимента к эксперименту. Последнее обстоятельство приобретает особое значение при анализе данных туннелирования в сверхпроводник с подавленным на поверхности параметром порядка. Поскольку в данном случае размеры N -области неконтролируются, то положение пика в $\sigma(U)$ по напряжению будет меняться в широких пределах от Δ_2 до $\Delta_1+\Delta_2$. Отождествление этой величины с суммой энергетических щелей исследуемого сверхпроводника и инжектора может вести к серьезным ошибкам (в частности, к заниженным значениям щели). Для определения истинного значения параметра порядка Δ_1 сверхпроводника в сэндвичах S_2-I-N/S_1 -типа необходимо использовать не положение пика в $\sigma(U)$, а напряжение, соответствующее окончанию провала в дифференциальной проводимости туннельного контакта, которое, как показали расчеты, практически не зависит от характера связанных состояний, возникающих в прибарьерной области.

В заключение выражаем благодарность В. М. Свисгунову за предложенную тему исследований, анализ и обсуждение полученных результатов.

Л и т е р а т у р а

- [1] Wolf E. L., Arnold G. B. Phys. Repts. 1982, vol. 91, N 2, p. 31–102.
- [2] Gray K. E., Hawley M. E., Moog E. R. In: Proc. of the Berkley Workshop on Novel Mechanisms of Superconductivity. N. Y.: Plenum, 1987, p. 611–625.
- [3] Arnold G. B. Phys. Rev. B, 1978, vol. 18, N 3, p. 1076–1100.

Донецкий физико-технический
институт АН УССР
Донецк

Поступило в Редакцию
15 марта 1988 г.

УДК 535.375.5 : 536.42

Физика твердого тела, том 30, № 9, 1988
Solid State Physics, vol. 30, № 9, 1988

МЯГКАЯ МОДА, ВЗАИМОДЕЙСТВИЕ МОД В СОЕДИНЕНИИ $TlGaSe_2$

E. A. Виноградов, B. M. Бурлаков, M. P. Яхьеев, A. П. Рябов,
H. H. Мельник, B. C. Умаров, A. A. Аникеев

В полупроводниковых слоистых кристаллах $TlGaSe_2$, принадлежащих к моноклинной сингонии (C_{2h}), обнаружена последовательность двух структурных ФП: первый — при температуре $T_c \approx 120$ К, соответствующий переходу второго рода в несоразмерную фазу с $q_{inc}=(\delta, \delta, 0.25)$ [1]; второй — при температуре $T_c \approx 107$ К, соответствующий переходу первого рода, близкого ко второму, в соразмерную ($q_c=(0, 0, 0.25)$) сегнето-электрическую фазу [2, 3].